

بهینه‌سازی کوره دوار سیمان به کمک آلگوریتم ژنتیکی

علیرضا زنجانی ثابت و محمد تقی صادقی*

تهران، دانشگاه علم و صنعت ایران، دانشکده مهندسی شیمی، آزمایشگاه کنترل و شبیه‌سازی فرایندها

پیام نگار: sadeghi@iust.ac.ir

چکیده

کوره دوار سیمان به دلیل نقشی که در تولید سیمان و مصرف انرژی دارد، یکی از مهمترین اجزای کارخانه سیمان محسوب می‌شود. کارهای بسیار گستردۀ ای در زمینه مدل‌سازی و شبیه‌سازی کوره‌های دوار سیمان انجام گرفته و انواع مدل‌های ایستایی و دینامیکی برای آن ارائه شده است. عملکرد این کوره بسیار مهم است و بر کیفیت سیمان و مقدار سوت مصرفی و هزینه عملیاتی، تاثیر به سزاوی دارد. در این تحقیق، سعی شده است یک مدل مناسب برای شبیه‌سازی کوره دوار سیمان انتخاب شود تا برای اجرای آلگوریتم بهینه‌سازی از آن، استفاده گردد. با توجه به ارتباط پیچیده پارامترهای طراحی و عملیاتی کوره با کیفیت سیمان تولیدی و نیز سوت مصرفی، از روش قدرتمند آلگوریتم ژنتیکی برای بهینه‌سازی استفاده شد. با بهینه‌سازی کوره دوار سیمان به منظور تولید سیمان با کیفیت‌های خاص توسط آلگوریتم ژنتیکی، پارامترهای بهینه فرایند به دست آمد.

کلمات کلیدی: کوره دوار سیمان، مدل‌سازی، شبیه‌سازی، بهینه‌سازی، آلگوریتم ژنتیکی

پس از دیگری نکته‌ای به آن افزوده‌اند ولی تا کنون مدل مشخص و معلومی که بتوان توسط آن کوره سیمان را بطور کامل تحلیل کرد ارائه نکرده‌اند. مدل‌های یکنواخت شامل مدل فریش [۳]، واتکینسون و بریماکوب [۴ و ۵]، و همچنین، مدل‌های دینامیکی، شامل مدل استاینرسایلد [۶]، متزر [۷] و اسپنگ [۸] می‌باشند. فریش، شبیه‌سازی یکنواخت کوره دوار مجهز به پیش‌گرمکن و پیش تکلیس‌کننده (کلسانیاتور) را ارائه کرده است. اساس کار بر مبنای تقسیم کوره در جهت طولی به تعدادی اجزاء (عناصر) و نوشتن موازنۀ جرم و انرژی برای این اجزاء و حل دستگاه معادلات ناخطی حاصل بر حسب دماست [۲]. واتکینسون و بریماکوب از یک کارگاه آزمایشگاهی کوره دوار استفاده کرده‌اند که در آن، از پنجاه و دو ترموکوپل (زوج گرمایی) برای اندازه‌گیری دما در طولها و عمق‌های متفاوت استفاده شده است. این شبیه‌سازی، واکنش‌ها را نیز در نظر

۱- مقدمه
سیمان‌ها مواد چسبنده‌ای هستند که قابلیت چسباندن ذرات به بدکدیگر و به وجود آوردن جسم یک پارچه از ذرات مشکله را دارند. آنچه از کلمه سیمان مد نظر است، نوعی از سیمان است که دارای ریشه‌آهکی می‌باشد [۱].

قسمت اصلی عمل پخت سیمان در کوره صورت می‌گیرد. کوره سیمان، یک استوانه فلزی است که طول و قطر آن متناسب با ظرفیت کارخانه است [۱]. در راه مدل‌سازی کوره دوار، از معادلات مربوط به جرم و انرژی و سرعت واکنش‌ها و فرمول‌های مربوط به پارامترهای متغیر در داخل کوره، نظیر ضرایب انتقال گرمای جابجایی، رسانش و تابش و گرمای واکنش‌ها و دیگر پارامترها استفاده می‌شود [۲]. کوره دوار سیمان و مدل‌سازی آن بحثی است که از سال‌ها قبل محققین بسیاری بر روی آن کار کرده و هر کدام

طراحی و میزان مواد اولیه است. برای حل این مدل و پیدا کردن مقادیر پارامترهای ذکر شده باید از روشی استفاده شود که بتواند شبیه‌سازی پیچیده ارائه شده برای کوره سیمان را حل کند.

اکثر روش‌های بهینه‌سازی که بر اساس روش جستجو با استفاده از مشتق تابع هدف، شکل گرفته‌اند به معادلاتی خطی یا ناخطی از مدل احتیاج دارند که بتوانند آلگوریتم شبیه‌سازی را تشکیل داده و حل کنند. از آنجا که معادلات به کار رفته در کوره دوّار سیمان، معادلات دیفرانسیلی با شیب‌های متغیر و زیاد می‌باشند و اینکه روش‌های فوق، اکثراً در حالت‌هایی که ناخطی بودن معادلات زیاد است در ماکزیمم‌ها و مینیمم‌های محلی در دام می‌افتد، این روش‌ها برای حل مسایل پیچیده، بسیار ناکارآمد و در برخی از موارد غیر عملی می‌باشند [۱۷].

آلگوریتم زنگنه کی از انواع آلگوریتم‌های قدرتمند جستجو است که بر مبنای انتخاب طبیعی و زنگنه کی طبیعی عمل می‌کند و در حل مسائل بهینه‌سازی قابل به کارگیری است. نتایج به دست آمده از آلگوریتم زنگنه حاکی از توانایی این روش در بهینه‌سازی فرایندها با مدل‌های پیچیده و سخت، همراه با شرایط محدود کننده و پارامترهای زیاد می‌باشد. تکامل یک فرایند بهینه‌سازی، مبتنی بر تغییرات تصادفی تدریجی نمونه‌های مختلف در یک جمعیت و انتخاب درست آنهاست، با مدل‌سازی این فرایند می‌توان یک تکنیک بهینه‌سازی آماری به دست آورد که امروزه در مسائل پیچیده مختلف و بخصوص مسائل طراحی، کارایی خود را نشان داده است. در این آلگوریتم، اثر کدهای زنگنه کی در ترکیب و انتقال اطلاعات و همچنین فرایند انتخاب طبیعی بر اساس سازگاری موجود با شرایط زیست محیطی، مدل‌سازی شده است. روش آلگوریتم زنگنه کی در حل مسائل مختلف بهینه‌سازی که روش‌های مرسوم بهینه‌سازی برای آنها نامناسب می‌باشد، قابل به کارگیری است. این نوع مسائل عبارتند از مسائلی که تابع هدف در آنها به صورت ناپیوسته، مشتق‌ناپذیر، شدیداً ناخطی و نوسانی است [۱۸].

۲- ارائه مدل

کوره دوّار سیمان به دلیل واکنش‌هایی که در آن اتفاق می‌افتد سیستمی پیچیده بوده و کارکرد آن به متغیرهای بسیاری وابسته است. انتقال جرم و گرما بین گاز و جامد بستگی مستقیم به

گرفته و با ارائه فرمولی برای انحراف موضعی، مدل خود را تا حدودی ارزیابی کرده است [۵ و ۶]. اولین مدل دینامیکی توسط سایلد ارائه شده است. در این مدل، معادله‌های نوشته شده بی‌بعد گشته، غبار در طول کوره، ثابت فرض شده و سرعت‌های جریان جرمی گاز و جامد و ضرایب انتقال گرما ثابت فرض شده‌اند [۶]. مدل بعدی توسط متزر بیان شد. در این مدل، محقق، کوره و کولر را با هم در نظر گرفت و فقط موازن‌های مربوطه و روش‌های خطی کردن معادلات حاصل از موازن‌های را بیان کرده (معادله‌های نوشته شده در این مدل به صورت بی‌بعد است) و هیچ‌یک از معادلات را حل نکرده و در ضمن، تأثیر غبار و واکنش‌های شیمیایی را در نظر نگرفته است. سرعت جریان‌های جرمی گاز و جامد ثابت فرض شده‌اند [۷]. سومین مدل دینامیکی توسط اسپنگ ارائه گردید. این محقق در مدل خود سرعت انجام واکنش‌های شیمیایی در داخل کوره را در نظر گرفته و به دلیل رسیدن سریع گاز به حالت پایدار، برای دمای گاز، حالت پایدار را تخمین زده است. ضمناً مدلی برای مشعل ارائه شده که برای سوخت جامد یا مایع مناسب به نظر می‌رسد و شعله به صورت یک واکنش گرما با بررسی می‌گردد، که این گرماشیش، مستقیماً به گاز منتقل می‌شود. در این مدل، اثر غبار در نظر گرفته نشده است [۸]. مدل‌های دینامیکی متفاوت دیگری نیز رفتار کوره سیمان را پیش‌بینی می‌کنند. این مدل‌ها از ساده‌ترین نوع (مدل جعبه سیاه به عنوان تابع انتقال) [۹ و ۱۰] تا پیچیده‌ترین مدل سه بعدی [۱۱] ارائه شده‌اند.

در این تحقیق، سعی بر آن است که با مطالعه مدل‌های مختلف ارائه شده، یک روش مدل‌سازی که قادر باشد رفتار کوره را در اثر تغییر پارامترها پیش‌بینی کند ارائه گردد. با توجه به اهمیت سیمان در اقتصاد یک کشور و نرخ رشد اقتصادی آن، کارخانجات سیمان به صنایع استراتژیک تبدیل شده‌اند. بهینه کردن کارخانه سیمان می‌تواند بسیار حائز اهمیت باشد. هدف نهایی این تحقیق، بهینه‌سازی کوره دوّار سیمان برای تولید سیمان‌های خاص با تغییر پارامترهای طراحی و عملیاتی به وسیله آلگوریتم زنگنه می‌باشد. در این راه به تبیین روشی پرداخته شده که به کمک آن بتوان از شبیه‌سازی ارائه شده استفاده کرد و کوره دوّار را به منظور افزایش تولید سیمان‌های خاص (سیمان پرتلند، تیپ‌های ۳، ۲ و ۴) بهینه نمود. این کار، مستلزم بهینه کردن پارامترهای عملیاتی، پارامترهای

- تمام سوخت به دی اکسید کربن و آب تبدیل می‌شود.
 - سرعت واکنش‌ها توسط قانون آرنیوس تعیین می‌گردد.
- تغییرات غلظت هر یک از مواد بر حسب زمان در هر سطح مقطع معادل مقداری که توسط جریان در عنصر حرکت می‌کند بعلاوه مقدار تولید شده، منهای مقدار مصرفی در عنصر در نظر گرفته می‌شود. بنابراین فرم کلی معادلات موازنۀ جرم به صورت زیر خواهد

بود:

$$\frac{\partial k}{\partial t} = -V_s \frac{\partial k}{\partial z} + R(k) \quad (1)$$

که در آن k غلظت یک ماده مشخص و $R(k)$ مقدار تولید شده است. از آنجا که بررسی تاثیر پارامترها بر روی تولید مورد نظر می‌باشد، برای بهینه‌سازی کوره دوار سیمان، یک مدل یکنواخت، مورد نیاز است. بنابراین فقط حالت‌های یکنواخت کوره در نظر گرفته شده و

حالاتی شروع به کار، خاموش کردن کوره و یا شوک‌های ناگهانی کوره مورد نظر نیستند.

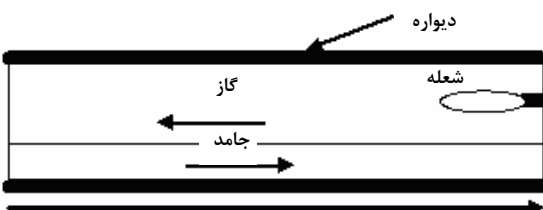
موازنۀ جرم برای ترکیب ۹ جامد که در واکنش‌ها شرکت می‌کنند، نوشته شده و برای دو گاز CO_2 و H_2O و نیز سوخت، به صورت زیر می‌باشد:

$$V_s \frac{\partial C_i}{\partial z} = R_i \quad (2)$$

$$V_g \frac{\partial C_j}{\partial z} = R_j \quad (3)$$

$$V_F \frac{\partial C_F}{\partial z} = R_F \quad (4)$$

واکنش‌هایی دارد که در این دو فاز اتفاق می‌افتد. برای اینکه بتوان این رفتار پیچیده را شبیه‌سازی کرد و تاثیرات پارامترها را مورد بررسی قرار داد از فرضیات ساده کننده‌ای استفاده شده است. نمای ساده‌ای از یک کوره دوار سیمان در شکل (۱) نشان داده شده است.



شکل ۱- نمای ساده‌ای از یک کوره دوار سیمان [۱۲]

۱-۲ فرضیات مدل

در مدل حاضر، سعی بر آن بوده که ساختار مدل از حداقل سادگی برخوردار باشد. فرضیات به کار گرفته شده به صورت زیر می‌باشد:

- قطر داخلی و خارجی کوره ثابت می‌باشند.

گرمای ویژه واکنش‌ها مستقل از دما، و درجهٔ حرارت محوری (طول کوره)، ثابت است.

هدايت در گازها و نیز مواد جامد، در جهت طول دیواره قابل اعماض است.

- سرعت و ارتفاع مواد جامد، ثابت می‌باشند.

متغیرهای شعاعی و زاویه‌ای در دمای دیواره قابل اغماض می‌باشند.

جدول ۱- واکنش‌های انجام شده در کوره [۸]

دما (K)	واکنش	تبادل گرما
۳۷۳	تبخیر آب ازاد	گرم‌گیر
بالای ۱۱۶۰	آزاد شدن دی اکسید کربن از کربنات کلسیم $\text{CaCO}_3 \rightarrow \text{CaO} + \text{CO}_2$	گرم‌گیر
۱۴۸۰	شروع ترکیب آهک و سیلیس $2\text{CaO} + \text{SiO}_2 \rightarrow \text{C}_2\text{S}$	گرم‌زا
۱۵۳۰	تشکیل مایع $4\text{CaO} + \text{Al}_2\text{O}_3 + \text{Fe}_2\text{O}_3 \rightarrow \text{C}_4\text{AF}$ $3\text{CaO} + \text{Al}_2\text{O}_3 \rightarrow \text{C}_3\text{A}$	گرم‌گیر گرم‌گیر
بالای ۱۵۳۰	تمکیل ترکیبات سیمان $2\text{CaO} + \text{SiO}_2 \rightarrow \text{C}_2\text{S}$ $\text{C}_2\text{S} + \text{CaO} \rightarrow \text{C}_3\text{S}$	گرم‌زا گرم‌گیر

$$R_{Fe_2O_3} = -\frac{M_{Fe_2O_3}}{4M_{CaO}} \cdot K_{C_4AF} \cdot C_{CaO}^4 \cdot C_{Al_2O_3} \cdot C_{Fe_2O_3} \quad (14)$$

در این روابط i و j ترکیبات زیر می‌باشند:

$$K_i = A_i \exp\left(-\frac{E_i}{rT_s}\right) \quad (15)$$

avec $i = CaO, C_3S, C_2S, C_3A, C_4AF$

$$R_{CO_2} = \frac{M_{CO_2}}{M_{CaO}} \cdot K_{CaO} \cdot C_{CaO} \cdot (-v_g) + y_{CO_2} \cdot R_F \quad (16)$$

$i = CaO, C_3S, C_2S, C_3A, C_4AF, CaCO_3, SiO_2, Al_2O_3, Fe_2O_3$

$j = H_2O_{(vap)}, CO_2$

سرعت‌های تولیدی به صورت‌های زیر می‌باشند:

$$R_{O_2} = -y_{O_2} \cdot R_F \quad (17)$$

$$R_{H_2O} = \begin{cases} -K_{H_2O} \cdot X_{H_2O} & X_{H_2O} \leq 0.1 \\ -K_{H_2O} & X_{H_2O} > 0.1 \end{cases} \quad (18)$$

$$R_{H_2O_{(vap)}} = R_{H_2O} \cdot (-v_g) + y_{H_2O} \cdot R_F \quad (19)$$

$$R_{CaCO_3} = -\frac{M_{CaCO_3}}{M_{CaO}} \cdot K_{CaO} \cdot C_{CaCO_3} \quad (20)$$

برخلاف مدل اسپینگ، انتقال جرم H_2O , CO_2 بین جامدات و گازها منظور شده است. علت آن است که درصد O_2 در فاز گاز، معمولاً برای کنترل مورد استفاده قرار می‌گیرد و باید به طور صحیح اندازه‌گیری شود. نتایج غلظت‌های CO_2 , H_2O و O_2 حاصل از

واکنش سوخت در این مدل لحظه شده است [۱۲ و ۱۳]. مواد افزایشی برای جامد، گاز، دیواره و دماهای مربوطه از معادلات

زیر به دست می‌آید:

$$R_{C_3S} = \frac{M_{C_3S}}{M_{CaO}} \cdot K_{C_3S} \cdot C_{CaO} \cdot C_{C_2S} \quad (21)$$

$$R_{C_2S} = \frac{M_{C_2S}}{2M_{CaO}} \cdot K_{C_2S} \cdot C_{CaO}^2 \cdot C_{SiO_2} \\ - \frac{M_{C_2S}}{M_{CaO}} \cdot K_{C_3S} \cdot C_{CaO} \cdot C_{C_2S} \quad (22)$$

$$R_{C_3A} = \frac{M_{C_3A}}{3M_{CaO}} \cdot K_{C_3A} \cdot C_{CaO}^3 \cdot C_{Al_2O_3} \quad (23)$$

$$R_{C_4AF} = \frac{M_{C_4AF}}{4M_{CaO}} \cdot K_{C_4AF} \cdot C_{CaO}^4 \cdot C_{Al_2O_3} \cdot C_{Fe_2O_3} \quad (24)$$

$$R_{CaO} = K_{CaO} \cdot C_{CaCO_3} - K_{C_3S} \cdot C_{CaO} \cdot C_{SiO_2} - K_{C_2S} \cdot C_{CaO}^2 \cdot C_{SiO_2} \\ - K_{C_3A} \cdot C_{CaO}^3 \cdot C_{Al_2O_3} - K_{C_4AF} \cdot C_{CaO}^4 \cdot C_{Al_2O_3} \cdot C_{Fe_2O_3} \quad (25)$$

$$R_{Al_2O_3} = -\frac{M_{Al_2O_3}}{4M_{CaO}} \cdot K_{C_4AF} \cdot C_{CaO}^4 \cdot C_{Al_2O_3} \cdot C_{Fe_2O_3} \\ - \frac{M_{Al_2O_3}}{3M_{CaO}} \cdot K_{C_3A} \cdot C_{CaO}^3 \cdot C_{Al_2O_3} \quad (26)$$

$$R_{SiO_2} = -\frac{M_{SiO_2}}{2M_{CaO}} \cdot K_{C_2S} \cdot C_{CaO}^2 \cdot C_{SiO_2} \quad (27)$$

$$A_S C_{P_S} \rho_S V_S \frac{\partial T_S}{\partial Z} = \beta_2 (T_g - T_S) \quad (28)$$

$$+ \beta_3 (T_w - T_S) - C_{P_S} \rho_S A_S \frac{\partial T_S}{\partial t} + A_S q_C \quad (29)$$

$$A_g C_{P_g} \rho_g V_g \frac{\partial T_g}{\partial Z} = \beta_1 (T_w - T_g) + \beta_2 (T_s - T_g) + q_f \quad (30)$$

$$A_W C_{P_W} \rho_W \frac{\partial T_W}{\partial t} = \beta_1 (T_g - T_W) \quad (31)$$

$$+ \beta_3 (T_s - T_W) + \beta_4 (T_a - T_w)$$

این معادلات نشان می‌دهند که انتقال گرما از طریق جابجایی، تابش و رسانش در طول دیواره اتفاق می‌افتد. همچنین انتقال گرما از طریق جابجایی و تابش متناسب با ΔT و ΔT^4 است. ضرایب کلی

انتقال گرمای β_i تابع ناخطی دمای انتقال گرمای جابجایی، تابش و هندسه کوره می‌باشد. این ضرایب به صورت زیر تعریف می‌شوند:

$$\beta_1 = r_1 p [F_1 + 1.1 \times 10^{-4} (1 - h_0) \varepsilon_g \varepsilon_w (T_g^2 + T_w^2) (T_g + T_w)]$$

$$\beta_2 = 2r_1 \text{Sin}\left(\frac{p}{2}\right) [F_2 + 1.1 \times 10^{-4} \varepsilon_g \varepsilon_s (T_g^2 + T_s^2) (T_g + T_s)]$$

$$\beta_3 = r_1 (2\pi - p) [F_3 + 1.1 \times 10^{-4} h \varepsilon_w \varepsilon_s (T_w^2 + T_s^2) (T_w + T_s)]$$

$$\beta_4 = 2\pi r_2 F_4$$

$$A_s = \frac{R_1^2}{2} (2\pi - P + \text{Sin}P)$$

$$A_g = \frac{R_1^2}{2} (P - \text{Sin}P)$$

$$A_w = 2\pi (r_2^2 - r_1^2)$$

$$h = 1 + \frac{2h_0 \text{Sin}\left(\frac{p}{2}\right)}{2\pi - p}$$

گرمای تولید شده توسط شعله برابر است با [۱۲ و ۱۳]:

$$q_f = (-\Delta H_F) A_g M_c R = \frac{G_F (-\Delta H_F)}{\rho_g v_g} \left[\frac{\psi M_{C_1} (M_a P)^2}{\rho_F M_{O_2} (RT_g)^2} \right] K_F d_0 C_F$$

۳- آلگوریتم شبیه‌سازی

با توجه به مدل ارائه شده به منظور استفاده در بهینه‌سازی، معادلات حاکم بر کوره دوّار سیمان به صورت دستگاه معادلات دیفرانسیل معمولی ناخطی (ODE) به دست می‌آید [۱۵]. جهت انجام شبیه‌سازی، آلگوریتمی تهیه گردید که توسط آن شبیه‌سازی حالت یکنواخت مساله مورد نظر، صورت پذیرفت. در نهایت، اثر تغییر پارامترهای مختلف از قبیل سرعت جامد و گاز، زاویه پرشدنگی و شعاع کوره بر روی غلظت اجزاء و دمای سه فاز گاز، دیواره و جامد مورد مطالعه قرار گرفت. دسته معادلات حاصله باید به صورت همزمان حل شوند. این معادلات، شامل معادلات مربوط به تغییرات غلظت، دماهای سه فاز جامد، گاز و دیواره در طول کوره می‌باشند. برای حل معادلات، ناگزیر به محاسبه پارامترها اعم از مساحت

۴- بررسی حساسیت مدل به پارامترها

در این بخش، سعی شده است که اثر تغییر پارامترهای کوره بر سیمان تولیدی بررسی گردد. پارامترهای مورد بررسی شامل سرعت جامد و گاز، زاویه پرشدنگی و شعاع کوره می‌باشند. با بررسی اثر تغییر این پارامترها، روند عملیاتی کوره در حالت‌های مختلف بررسی شده و نقاط بهینه به دست می‌آیند. با انتخاب پارامترهایی که تاثیر بیشتری بر روند کاری کوره دارند محدوده این پارامترها به گونه‌ای تعیین می‌شود تا واکنش‌های لازم در کوره انجام شوند و به تولید

نتایج شبیه‌سازی نشان می‌دهند که با افزایش سرعت جامد، دمای گاز ورودی افزایش می‌یابد. اختلاف دما در ناحیه انتهایی کوره بیشتر است. هر چه به سمت ورودی کوره پیش می‌رویم با مصرف آنتالپی گاز در واکنش‌های مختلف، اختلاف نمودارها کاهش یافته و

به صفر می‌رسد.

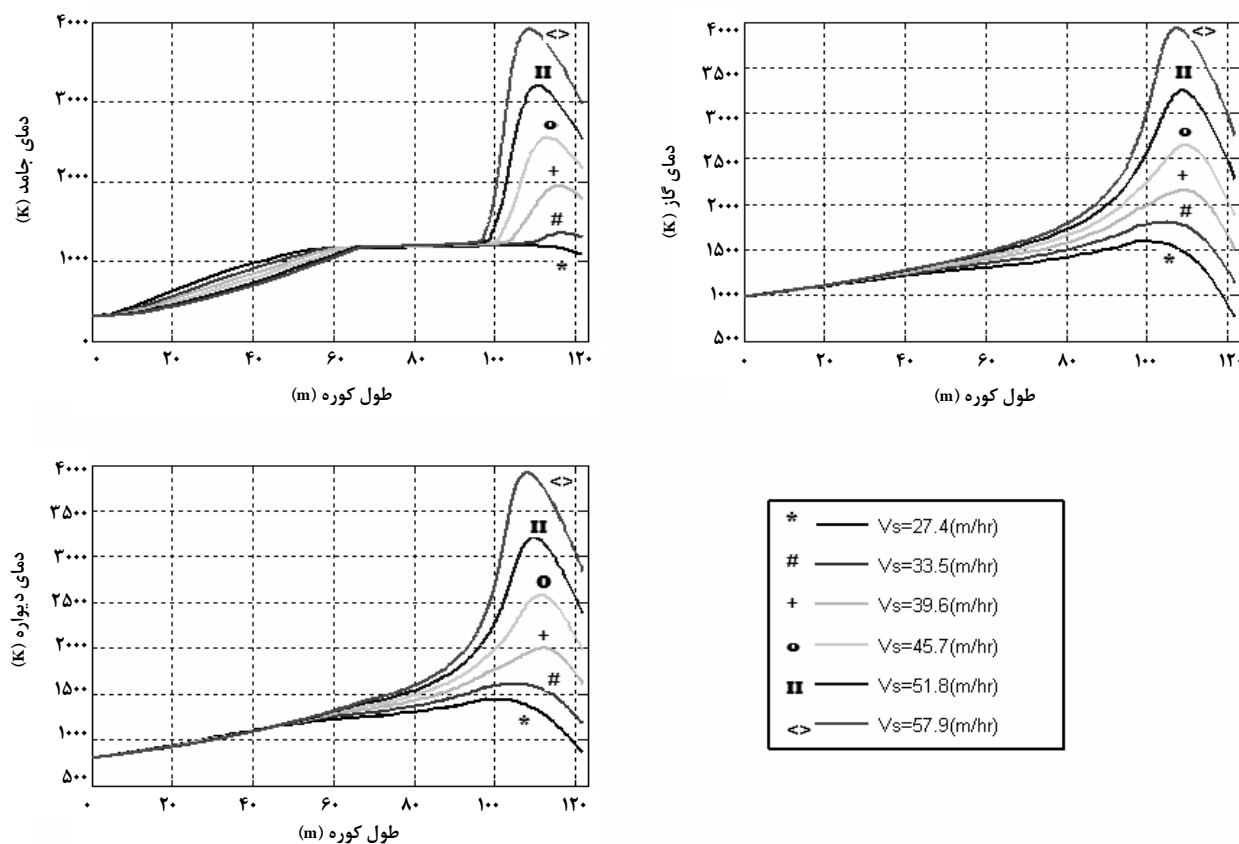
حداکثر سیمان منتهی گردد. با تغییر تنها یک پارامتر خاص، کوره در حالت عملیاتی بهینه قرار نمی‌گیرد و متغیرهای دیگر نیز به تناسب آن می‌بایست تغییر کنند تا عملکرد کوره مورد ارزیابی قرار گیرد.

۴-۲-۴ اثر تغییر سرعت گاز

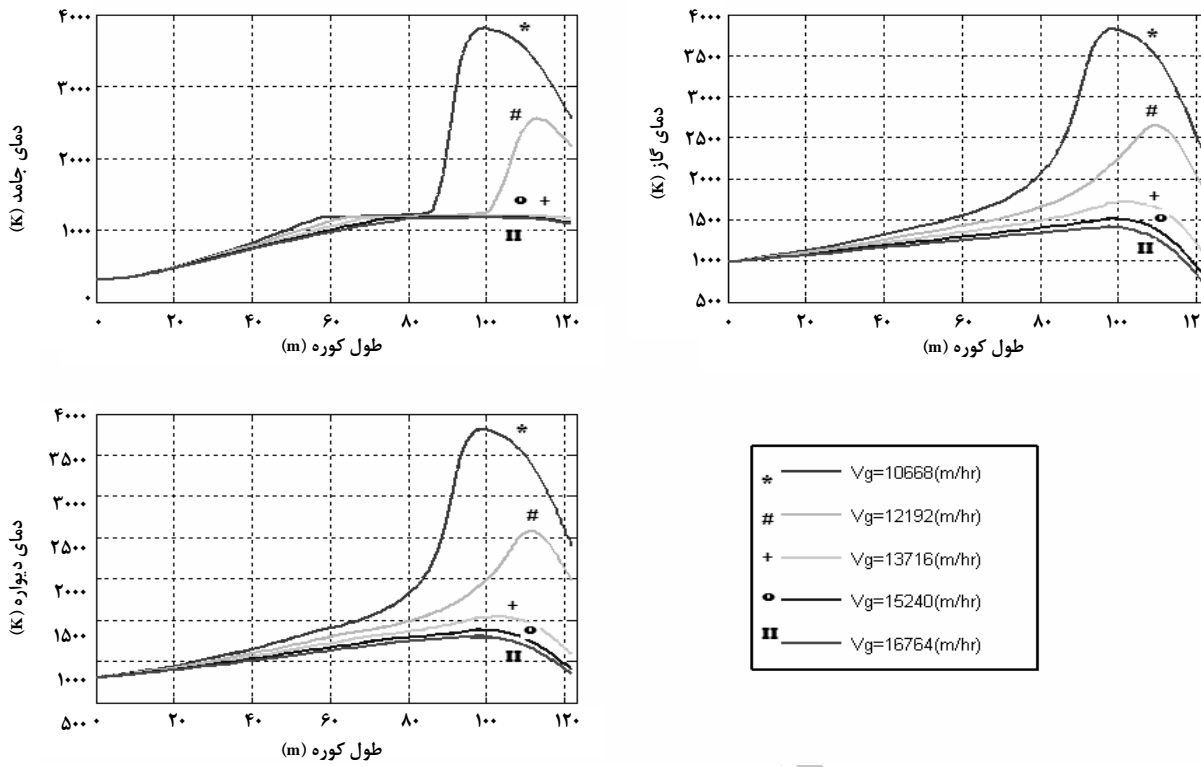
شکل (۳) اثر سرعت گاز بر دمای جامد، گاز و دیواره در طول کوره را نشان می‌دهد. سرعت گاز از 27.4 m/hr^{-1} تا 57.9 m hr^{-1} در پنج مرحله تغییر داده شد. دمای هوای خروجی از کوره، سرعت جامد، زاویه پرشدنگی و شعاع کوره، ثابت، و دمای گاز ورودی، متغیر است.

۱-۴ اثر تغییر سرعت جامد

سرعت جامد از 27.4 m hr^{-1} تا 57.9 m hr^{-1} در شش مرحله تغییر داده شد. با افزایش سرعت جامد، گرمای بیشتری برای انجام واکنش‌ها مورد نیاز است. دمای گاز خروجی از کوره برابر با مقدار حالت یکنواخت در نظر گرفته شد. بنابراین دمای گاز ورودی باید افزایش یابد تا مقدار انرژی لازم برای واکنش فاز جامد تأمین شود. اثر تغییر سرعت جامد بر روی دمای سه فاز جامد، گاز و دیواره در شکل (۲) نشان داده شده است.



شکل ۲- اثر سرعت جامد بر دمای جامد، گاز و دیواره در طول کوره



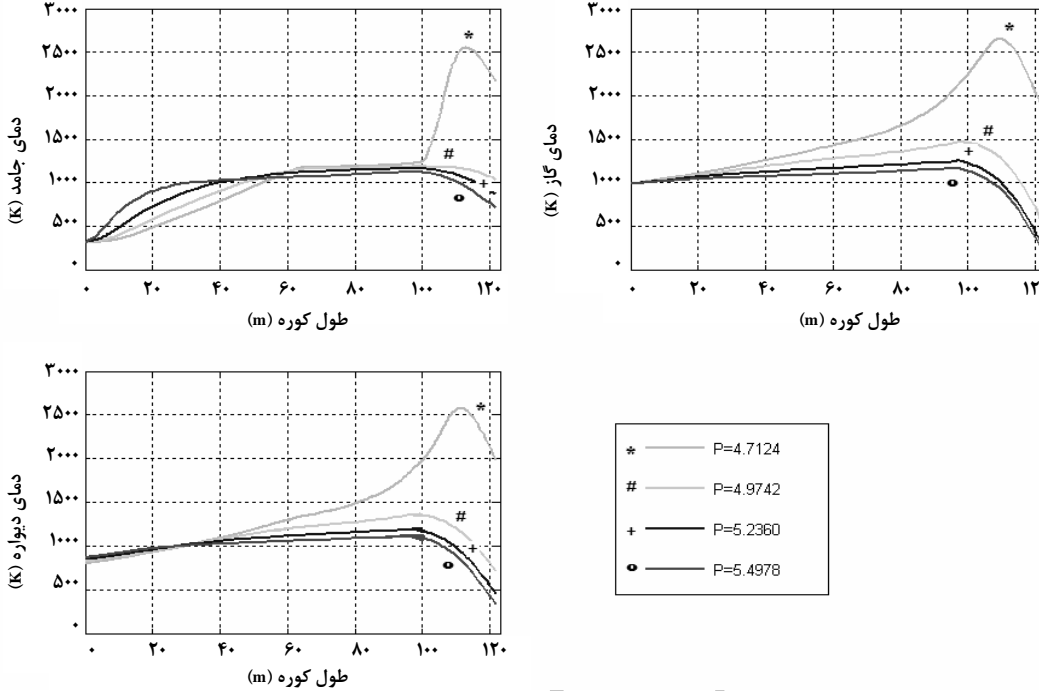
شکل ۳- اثر سرعت کاز بر دمای چامد، گاز و دیواره در طول کوره

اثر این پارامتر با فرض متغیر بودن دمای گاز ورودی و ثابت بودن دیگر پارامترها بررسی شده است. زاویه پرشدنگی از $(\frac{4\pi}{3})^{70}$ تا $(\frac{5\pi}{6})^{11}$ در چهار مرحله تغییر کرده است. با افزایش زاویه پرشدنگی، سطح چامد و به تبع آن، شدت جريان چامد، کاهش می‌یابد و همچنین، سطح تبادل گرما کم می‌شود. کم شدن شدت جريان چامد، کاهش آنتالپی مورد نیاز را در بی داشته و در نتیجه دمای هوای ورودی کوره کاهش می‌یابد. با افزایش زاویه پرشدنگی در نمودار دمای فاز چامد، شدت جريان چامد کاهش می‌یابد و دمای چامد به سرعت به دمای گاز می‌رسد. اين روند در طول کوره ادامه می‌يابد ولی در زاویه‌های کم که در آن، شدت جريان، زياد است اين فاصله، افزایش نشان می‌دهد. در زاویه‌های زياد انباستگی، به دليل کم بودن چامد، مقدار آنتالپی منتقل شده از گاز به چامد کم است و بنابراین دمای گاز، افت كمتری خواهد داشت.

مقدار آنتالپی ورودی به مقدار دمای گاز ورودی و نيز شدت جريان آن وابسته است. با افزایش شدت جريان گاز و دمای هوای ورودی، آنتالپی کاهش می‌يابد (نمودار دمای گاز)، در شدت جريان کم گاز، به دليل ثابت بودن شدت جريان سوخت، دمای گاز و به تبع آن دمای دو فاز چامد و دیواره در ناحيه شعله بالاتر می‌رود. بنابراین در شدت جريان کم گاز، ماکریتم‌های بزرگتری را نسبت به شدت جريان زياد گاز شاهد هستيم.

۴-۳ اثر تغيير زاويه پرشدنگي

زاویه پرشدنگی بيانگر زاويه بالاي سطح چامد است که توسط آن سطح چامد (A_S) و سطح گاز عبوری (A_g) محاسبه می‌شوند. بررسی اثر تغيير زاويه پرشدنگی در واقع اثر سطح چامد را نشان می‌دهد که به تبع آن مساحت‌های انتقال گرمای تابشي و جابجايی، ضرایب شكل و شدت جريان چامد تغيير می‌کند. در نمودارهای زير،

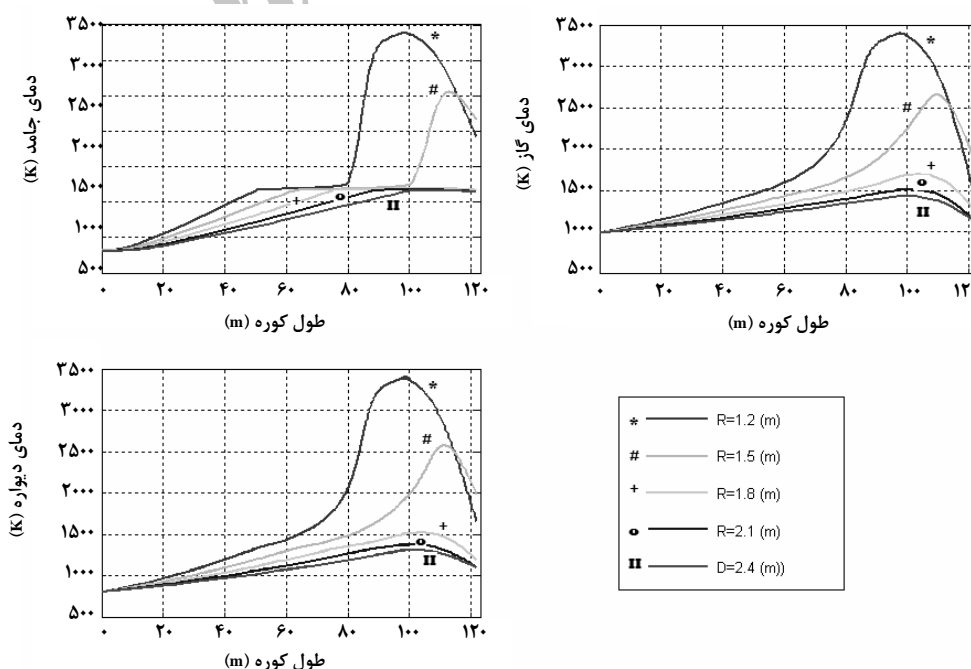


شکل ۴- اثر تغییر زاویه پرشدگی بر دمای جامد، گاز و دیواره در طول کوره

شدت جریان جامد و گاز را به طور همزمان تغییر دهد. با تغییر دمای هوای ورودی و ثابت ماندن دمای هوای خروجی، اثر این پدیده بررسی شد. شعاع داخلی کوره از $m = \frac{1}{2}$ تا $\frac{2}{3} m$ در پنج مرحله تغییر کرده است.

۴-۴ اثر تغییر شعاع کوره

در این بخش اثر تغییر شعاع داخلی کوره با فرض ثابت بودن ضخامت دیواره مورد بررسی قرار گرفته است. با ثابت بودن زاویه پرشدگی، سرعت گاز و جامد، تغییر شعاع کوره می‌تواند سطح و



شکل ۵- اثر تغییر شعاع کوره بر دمای جامد، گاز و دیواره در طول کوره

۵- آلگوریتم بهینه‌سازی

دست آمده برای هر دسته از پارامترها، این پارامترها ارزش‌گذاری شده‌اند که به این‌کار، اصطلاحاً محاسبه تابع برازنده‌گی گویند. مرحله بعد تشکیل جمعیت ثانویه یا در واقع سلسله حدس‌های جدید برای پارامترهای تابع هدف است. بعد از مرتب کردن مقادیر تابع هدف برای پارامترهای حدس زده شده در مرحله قبل، بهترین پارامترها مستقیماً به جمعیت بعدی انتقال می‌یابند (بهترین پارامترها، پارامترهایی هستند که مقدار تابع برازنده‌گی تابع هدف آنها ماکریم باشد). جمعیت جدید بر اساس اجرای عملگرهای انتخابی، ترکیبی و جهشی بر روی جمعیت قبلی به دست می‌آید. یک بخش از پارامترها، پارامترهای بهینه مرحله قبل می‌باشند که مستقیماً به مرحله بعدی انتقال می‌یابند. بخش دوم دسته پارامترهایی هستند که بر اساس عملگر انتخاب، وارد مرحله بعدی می‌شوند. مکانیسم انتخاب در این آلگوریتم، استفاده از چرخه رولت و تابع چگالی احتمال می‌باشد. بخش سوم، دسته پارامترهایی هستند که به مرحله بعد راه می‌یابند، این دسته پارامترها از ترکیب دسته پارامترهای مرحله قبل حاصل می‌شوند. دسته پارامترهایی که دارای تابع برازنده‌گی بزرگتری می‌باشند با احتمال بیشتری در بخش ترکیب مورد استفاده قرار می‌گیرند. مکانیسم استفاده شده برای عملگر ترکیب در این برنامه، ترکیب سه نقطه‌ای است.

عملگر بعدی، عملگر جهش است که به صورت کاملاً تصادفی بر روی کروموزم دسته پارامترها عمل می‌کند و با صفر و یک نمودن ژن مربوطه مقادیر پارامترها را تغییر می‌دهد. این عملگر به جستجوی مناطقی از فضای بهینه‌سازی می‌پردازد که جستجوگر در آن مناطق، غیر فعال است. در واقع این عملگر برای اجتناب از به دام افتادن در اکسترمم‌های محلی طراحی شده است.

فرایند جستجو تا رسیدن به یک مقدار ماکریم مطلوب و پایا ادامه می‌یابد. با عدم تغییر در مقدار ماکریم بدست آمده اجرای برنامه متوقف می‌گردد.

۱-۵ محدودیت‌ها

انواع سیمان‌های مورد استفاده در صنایع مختلف دارای استانداردها و ویژگی‌های خاصی می‌باشند که در این تحقیق، استانداردهای ارائه شده توسط موسسه استاندارد و تحقیقات صنعتی ایران مبنای بهینه‌سازی قرار گرفته است. انواع سیمان‌های مطالعه شده در این تحقیق عبارتند از:

ابتدا پارامترهای موثر در بهینه‌سازی کوره دوار برای یک نوع خاص از سیمان انتخاب شده و محدوده تغییرات آن‌ها با توجه به بررسی‌های بخش قبل، تعیین می‌گردد. مرحله بعد تشکیل جمعیت اولیه است که شامل دسته پارامترهایی است که به سیستم دو دویی تبدیل می‌شوند. برای این‌کار، دو روش وجود دارد. یکی حدس‌های هوشمندانه توسط کاربر و دیگری حدس‌هایی غیرهوشمندانه که توسط رایانه به صورت حدس و خطای داخل محدوده مشخص شده انجام می‌گیرد.

پارامترهای حدس زده شده توسط آلگوریتم، به مبنای دو دویی تبدیل می‌شوند. هر دسته از پارامترها در مبنای دو، پشت سر هم قرار گرفته و تشکیل یک کروموزم می‌دهد. در واقع هر کدام از صفر و یک‌های ماتریس جمعیت اولیه، ژن‌های کروموزم‌ها محسوب می‌شوند. مرحله بعدی، محاسبه مقدار تابع هدف بر اساس آلگوریتم شبیه‌سازی ارائه شده در بخش قبل است.

۰ تابع هدف

در این تحقیق، تابع هدف، مقدار شدت جریان جرمی سیمان تولیدی است که باید در شرایط استانداردهای سیمان مورد نظر صدق کند.

$$M = V_s * A_s * \rho_s \quad (۲۳)$$

پارامترهای بهینه‌سازی شامل سرعت‌های جامد و گاز ورودی، دمای فاز گاز، شعاع کوره، زاویه پرشدگی، مقدار اکسید آلومینیم و اکسید آهن، بر کیفیت سیمان تاثیر گذار هستند. در آلگوریتم بهینه‌سازی ارائه شده، تابع شبیه‌ساز با استفاده از پارامترهایی که از طریق کدهای ژنتیکی دریافت می‌کند، شبیه‌سازی کوره دوار را انجام، و پروفایل‌های غلظت و دما را در طول کوره به دست می‌دهد. نتایج حاصله می‌باشد با شرایط استانداردهای سیمان مطابقت داده شود. برنامه شبیه‌ساز طوری طراحی شده است که اگر کیفیت سیمان تولیدی در شرایط سیمان هدف صدق کند، مقدار شدت جریان جرمی سیمان تولیدی حفظ می‌شود و در غیر این صورت، برای تابع هدف، مقدار صفر منظور می‌گردد. با استفاده از مقدار تابع هدف به

نظر باشد، به کار می‌رود.

ویژگی‌های شیمیایی الزامی انواع پنجگانه سیمان پرتلند در جدول (۲) آمده است [۱۹].

الف- سیمان پرتلند نوع دو (پ - ۲)

به عنوان سیمان پرتلند اصلاح شده، مصرف ویژه آن در ساخت بتن‌هایی است که گرمای هیدراتاسیون (آبپوشی) متوسط برای آن‌ها ضرورت داشته و حمله سولفات‌ها در حد متوسط باشد.

۶- نتایج حاصل از بهینه‌سازی

مشخصات پارامترهای بهینه شده شامل حدود بالا و پایین پارامترها، مقدار بهینه شده آن‌ها و نیز مقدار تابع هدف در حالت بهینه برای سیمان‌های تیپ‌های ۲، ۳ و ۴ در جدول‌های (۳)، (۴) و (۵) نشان داده شده است.

ب- سیمان پرتلند نوع سه (پ - ۳)

به عنوان سیمان پرتلند با مقاومت اولیه زیاد بکار می‌رود.

پ- سیمان پرتلند نوع چهار (پ - ۴)

به عنوان سیمان پرتلند در شرایطی که حرارت آبپوشی کم بتن مورد

جدول ۲- ویژگی‌های الزامی شیمیایی سیمان پرتلند [۱۹]

نوع سیمان پرتلند					ویژگی‌های شیمیایی
۵	۴	۳	۲	۱	
-	-	-	۲۰/۰۰	-	درصد اکسید سیلیسیم (حداقل) SiO_2
-	-	-	۶/۰۰	-	درصد اکسید آلومینیم (حداکثر) Al_2O_3
-	۶/۵۰	-	۶/۰۰	-	درصد اکسید آهن (حداکثر) Fe_2O_3
۵/۰۰	۵/۰۰	۵/۰۰	۵/۰۰	۵/۰۰	درصد اکسید منیزیم (حداکثر) MgO
۲/۳۰	۲/۳۰	۳/۵۰	۳/۰۰	۳/۰۰	درصد تری اکسید گوگرد (حداکثر) SO_3
۲/۰۰	۲/۵۰	۳/۰۰	۳/۰۰	۲/۰۰	درصد کسر وزن در اثر سرخ شدن (حداکثر)
۰/۷۵	۰/۷۵	۰/۷۵	۰/۷۵	۰/۲۵	درصد باقیمانده نامحلول (حداکثر)
-	۳۵/۰۰	-	-	-	درصد سه کلسیم سیلیکات (حداکثر) C_3Si
-	۲۰/۰۰	-	-	-	درصد دو کلسیم سیلیکات (حداکثر) C_2Si
۵/۰۰	۷/۰۰	۱۵	۸/۰۰	-	درصد سه کلسیم آلومینات (حداکثر) C_3Al
۲۵	-	-	-	-	درصد مجموع چهار کلسیم آلومینوفریت و دو برابر سه کلسیم آلومینات $2C_3Al + C_4AF$ (حداکثر)

جدول ۳- مشخصات پارامترهای بهینه برای سیمان تیپ ۲

V_s	P	V_g	$R(m)$	$C_{Fe_2O_3}$	$C_{Al_2O_3}$	C_{SiO_2}	$T_g(K)$	پارامتر
۵۸	۵	۱۵۲۰۰	۲/۱۳	۰/۰۵	۰/۰۵	۲	۹۹۴	حد بالای پارامترها
۳۷	۳/۵	۹۱۴۰	۱/۲۲	۰/۰۰۲۵	۰/۰۰۲۵	۱	۹۵۰	حد پایین پارامترها
۵۴/۷	۴/۵۹	۱۲۹۰۰	۲/۱	۰/۰۱۱۵	۰/۰۱۹۸	۱/۵	۹۹۲	مقدار بهینه شده
$76180/839 \text{ (kg/hr)}$								مقدار تابع هدف بهینه

جدول ۴- مشخصات پارامترهای بهینه برای سیمان تیپ ۳

V_s	P	V_g	$R(m)$	$C_{Fe_2O_3}$	$C_{Al_2O_3}$	$T_g(K)$	پارامتر
۵۸	۵	۱۵۲۰۰	۲/۱۳	۰/۱۵	۰/۱۵	۱۰۳۰	حد بالای پارامترها
۳۷	۳/۵	۹۱۴۰	۱/۲۲	۰/۰۰۵	۰/۰۰۵	۹۹۴	حد پایین پارامترها
۵۰/۴	۴/۸۷	۱۱۴۰۰	۱/۵۸	۰/۰۵۱۶	۰/۱۰۷۹	۹۹۸	مقدار بهینه شده
۲۶۲۱۴/۱۲۱ (kg/hr)							مقدار تابع هدف بهینه

جدول ۵- مشخصات پارامترهای بهینه برای سیمان تیپ ۴

V_s	P	V_g	$R(m)$	$C_{Fe_2O_3}$	$C_{Al_2O_3}$	$T_g(K)$	پارامتر
۵۵	۵	۱۵۲۰۰	۲/۱۳	۰/۰۷	۰/۱۵	۱۰۰۰	حد بالای پارامترها
۳۷	۳/۵	۹۱۴۰	۱/۲۲	۰/۰۰۲۵	۰/۰۰۵	۹۹۴	حد پایین پارامترها
۴۷/۲	۴/۷۰	۱۲۲۰۰	۱/۶	۰/۰۲۲	۰/۰۴۶۹	۹۵۸	مقدار بهینه شده
۳۱۳۲۷۷۳۵۷ (kg/hr)							مقدار تابع هدف بهینه

معادلات تصحیح شده مدل اسپنگ استوار است. با شبیه‌سازی کوره به منظور تولید سیمان‌های خاص که در این تحقیق، سیمان‌های پرتلند تیپ ۲، ۳ و ۴ می‌باشند، ابتدا آنالیز حساسیت پارامترهای مؤثر، انجام شد و محدوده تغییرات انها مشخص گردید. سپس با ارائه یک آلگوریتم بهینه‌سازی پارامترهای مؤثر در تولید، بهینه شد. با استفاده از آلگوریتم ژنتیکی و اعمال محدودیت‌های مورد نظر، بهینه‌سازی بر پایه یک جستجوی هوشمندانه انجام گردید.

پارامترهای بهینه عملیاتی و طراحی کوره برای سیمان‌های باد شده در جدول‌های مربوطه ارائه شده‌اند. نتایج بدست آمده نشان می‌دهند این پارامترها برای تیپ‌های مختلف سیمان بر اساس محدودیت‌های ذکر شده در جدول (۲) متفاوت بوده و مستقیماً بر کیفیت و مقدار سیمان تولیدی موثر می‌باشند.

با استفاده از آلگوریتم بهینه‌سازی ارائه شده در بالا پارامترهای کوره دوّار و مقدار سیمان تولیدی، برای انواع سیمان‌های مورد نظر بهینه شده و نتایج آن در جدول (۶) آمده است. نتایج به دست آمده نشان می‌دهند پارامترهایی که برای تیپ‌های مختلف سیمان بدست آمده‌اند بر اساس محدودیت‌های ذکر شده در جدول (۲) متفاوت می‌باشند. این پارامترها مستقیماً بر کیفیت و مقدار سیمان تولیدی اثرگذار هستند.

۷- بحث و نتیجه‌گیری

در این تحقیق، سعی شده است تا یک کوره سیمان برای حالت‌های مختلف با هدف ماکزیمم میزان تولید بهینه گردد. برای این کار از مدل یکنواخت کوره دوّار سیمان استفاده شد. این مدل بر اساس

جدول ۶- مشخصات پارامترهای بهینه برای سیمان پرتلند تیپ های ۲، ۳، ۴ و مدل اسپنگ

تیپ ۲	تیپ ۳	تیپ ۴	مدل اسپنگ	نوع سیمان	پارامتر
۵۴/۷	۵۰/۴	۴۷/۲	۴۵/۷	$V_s (m/hr)$	
۴/۵۹	۴/۸۷	۴/۷۰	۴/۷۱	$P_R (rad)$	
۱۲۹۰۰	۱۱۴۰۰	۱۲۲۰۰	۱۲۲۰۰	$V_g (m/hr)$	
۲/۱	۱/۵۸	۱/۶	۱/۵۲	$R (m)$	
۰/۰۱۱۵	۰/۰۵۱۶	۰/۰۲۲	۰/۰۴۶۹	$C_{Fe_2O_3}$	
۰/۰۱۹۸	۰/۱۰۷۹	۰/۰۴۶۹	۰/۰۹۳۸	$C_{Al_2O_3}$	
۱/۵	۰/۳۳۹۸	۰/۳۳۹۸	۰/۳۳۹۸	C_{SiO_2}	
۹۹۲	۹۹۸	۹۵۸	۹۴۴	$T_g (K)$	
۷۶۱۸۰/۸۳۹	۲۶۲۱۴/۱۲۱	۳۱۳۲۷/۳۵۷	۲۷۱۸۵/۶۰۵	مقدار تابع هدف بهینه (kg/hr)	

مراجع

- [1] حسین شفیعی و مصطفی خانزادی، "کوره های دوار"، دانشگاه علم و صنعت ایران، چاپ اول، صفحه ۳۵، (۱۳۸۵).
- [2] J. P. Holman, "Heat Transfer", Vol. 2, pp. 173, McGraw-Hill (1963).
- [3] V. Frish and R. Jeschar, "Possibilities for Optimizing the Burning Process in Rotary Cement Kiln", Z. K. G., No.10/83, pp. 549-560, (1983).
- [4] J. K. Brimacombe and A. P. Watkinson, "Heat Transfer in a Direct-Fired Rotary Kiln (I)", Metallurgical Transaction B, Vol. 9B, pp. 201-208, (1978).
- [5] J. K. Brimacombe and A. P. Watkinson, "Heat Transfer Model for the Rotary Kiln (II)", Metallurgical Transaction B, Vol. 20B, pp. 403-419, (1989).
- [6] S. Saelid, "Modeling, Estimation and Control of Rotary Cement Kiln", Ph.D. Thesis, Dept. of Chem. Eng., Massachusetts Institute of Technology, Cambridge, MA 02139, U.S.A. (1976).
- [7] M. Metzger, "Simplified Mathematical Model of the Rotary Kiln Unit Dynamic Properties", Z. K. G., No. 11, pp. 559-564, (1982).
- [8] H. A. Spang, "A Dynamic Model of Cement Kiln", Automatica, Vol. 8, pp. 309-323, 1972.
- [9] B. P. Graham, P. L. Lee and R. B. Newell, "Simulation of multivariable control of cement kiln", Chem. Eng. Res. Des., Vol. 63, pp. 363-365, (1985).
- [10] G.N. Charos, Y. Arkun and R.A. Taylor, "Model Predictive Control of Industrial Lime Kiln", Tappi Journal, pp. 203-211, (1991).
- [11] E. Mastorakos, A. Massias, C. D. Tsakiroglou, D. A. Sait, "Optimal Control of a Vertical Roller Mill", Chemical Engineering Science, Vol. 53, pp. 2001-2015, (1998).
- [12] A. C. Witsel, C. Renotte and M. Remy, "New Dynamic Model of Rotary Cement Kiln", Vol. 23, pp. 55-76, (2004).
- [13] H. C. Steward and R. Canon, "The calculation of radiative heat flux in a cylindrical furnace using the Monte Carlo Method" Int. J. Heat Mass Transfer, Vol. 8, pp. 1153-1169, (1965).
- [14] M. Tokyay, "Effect of Chemical Composition of Clinker on Grinding Energy Requirement", Cement and Concrete Research Press, Vol. 29, pp. 531-535, (1999).
- [15] S. L. Cheng and C. Hwang, "Optimal Approximation of Linear System by Differential Evolution Algorithm", IEEE Transaction on System, Man and Cybernetics- Part A: System and Humans, Vol. 31, No. 6, pp. 698-707, (2001).
- [16] L. F. Shampine and M. W. Reichelt, "The MATLAB ODE Suite," SIAM Journal on Scientific Computing, Vol. 18, pp. 1-22, (1997).
- [17] Giridhar K., Progress in Cement and Concretes., "Optimization of Vertical Roller Mills", Vol. 12, pp. 86-97 Published by ABI Books Private Limited, (1996).
- [18] M. Azarmi, "Simulation and Optimization of Disturbing Process at Refinery", MSc. Thesis, Chemical Eng. Dept. Iran Uni. of Sci. and Tech., (2007).
- [19] سایت تخصصی سیمان ایران، مجله www.Irancement.com
- سیمان، استاندارد سیمان ایران، تیر ماه (۱۳۸۰).